

Zulassungsstelle für Bauprodukte und Bauarten

Bautechnisches Prüfamts

Eine vom Bund und den Ländern
gemeinsam getragene Anstalt des öffentlichen Rechts



Europäische Technische Bewertung

ETA-17/0288
vom 23. September 2020

Allgemeiner Teil

Technische Bewertungsstelle, die die Europäische Technische Bewertung ausstellt

Deutsches Institut für Bautechnik

Handelsname des Bauprodukts

Upat Hülsenanker UHS, UHS-I

Produktfamilie,
zu der das Bauprodukt gehört

Mechanischer Dübel zur Verwendung im Beton

Hersteller

Upat Vertriebs GmbH
Bebelstraße 11
79108 Freiburg im Breisgau
DEUTSCHLAND

Herstellungsbetrieb

Upat

Diese Europäische Technische Bewertung enthält

25 Seiten, davon 3 Anhänge, die fester Bestandteil dieser Bewertung sind.

Diese Europäische Technische Bewertung wird ausgestellt gemäß der Verordnung (EU) Nr. 305/2011, auf der Grundlage von

EAD 330232-00-0601, Edition 10/2016

Diese Fassung ersetzt

ETA-17/0288 vom 22. August 2017

Die Europäische Technische Bewertung wird von der Technischen Bewertungsstelle in ihrer Amtssprache ausgestellt. Übersetzungen dieser Europäischen Technischen Bewertung in andere Sprachen müssen dem Original vollständig entsprechen und müssen als solche gekennzeichnet sein.

Diese Europäische Technische Bewertung darf, auch bei elektronischer Übermittlung, nur vollständig und ungekürzt wiedergegeben werden. Nur mit schriftlicher Zustimmung der ausstellenden Technischen Bewertungsstelle kann eine teilweise Wiedergabe erfolgen. Jede teilweise Wiedergabe ist als solche zu kennzeichnen.

Die ausstellende Technische Bewertungsstelle kann diese Europäische Technische Bewertung widerrufen, insbesondere nach Unterrichtung durch die Kommission gemäß Artikel 25 Absatz 3 der Verordnung (EU) Nr. 305/2011.

Besonderer Teil

1 Technische Beschreibung des Produkts

Der Upat Hülsenanker UHS, UHS-I ist ein Dübel aus galvanisch verzinktem Stahl (Größen mit Außendurchmesser 10, 12, 15, 18, 24, 28 und 32, Größen mit Innengewinde 12/M6 I, 12/M8 I, 15/M10 I und 15/M12 I) oder aus nichtrostendem Stahl (Größen mit Außendurchmesser 10, 12, 15, 18 und 24, Größen mit Innengewinde 12/M6 I, 12/M8 I, 15/M10 I und 15/M12 I), der in ein Bohrloch gesetzt und durch kraftkontrollierte Verspreizung verankert wird.

Die Produktbeschreibung ist in Anhang A dargestellt.

2 Spezifizierung des Verwendungszwecks gemäß dem anwendbaren Europäischen Bewertungsdokument

Von den Leistungen in Abschnitt 3 kann nur ausgegangen werden, wenn der Dübel entsprechend den Angaben und Bedingungen nach Anhang B verwendet wird.

Die Prüf- und Bewertungsmethoden, die dieser Europäischen Technischen Bewertung zu Grunde liegen, führen zur Annahme einer Nutzungsdauer des Dübels von mindestens 50 Jahren. Die Angabe der Nutzungsdauer kann nicht als Garantie des Herstellers verstanden werden, sondern ist lediglich ein Hilfsmittel zur Auswahl des richtigen Produkts in Bezug auf die angenommene wirtschaftlich angemessene Nutzungsdauer des Bauwerks.

3 Leistung des Produkts und Angabe der Methoden ihrer Bewertung

3.1 Mechanische Festigkeit und Standsicherheit (BWR 1)

Wesentliches Merkmal	Leistung
Charakteristischer Widerstand unter Zugbeanspruchung (statische und quasi-statische Einwirkungen)	Siehe Anhang C 1, C 2, C 7
Charakteristischer Widerstand unter Querbeanspruchung (statische und quasi-statische Einwirkungen)	Siehe Anhang C 3 und C 4
Verschiebungen (statische und quasi-statische Einwirkungen)	Siehe Anhang C 10, C 11
Charakteristischer Widerstand und Verschiebungen für seismische Leitungskategorie C1 und C2	Siehe Anhang C 8, C 9, C 11
Dauerhaftigkeit	Siehe Anhang B 1

3.2 Brandschutz (BWR 2)

Wesentliches Merkmal	Leistung
Brandverhalten	Klasse A1
Feuerwiderstand	Siehe Anhang C 5, C 6

4 Angewandtes System zur Bewertung und Überprüfung der Leistungsbeständigkeit mit der Angabe der Rechtsgrundlage

Gemäß dem Europäischen Bewertungsdokument EAD 330232-01-0601 gilt folgende Rechtsgrundlage: [96/582/EG].

Folgendes System ist anzuwenden: 1

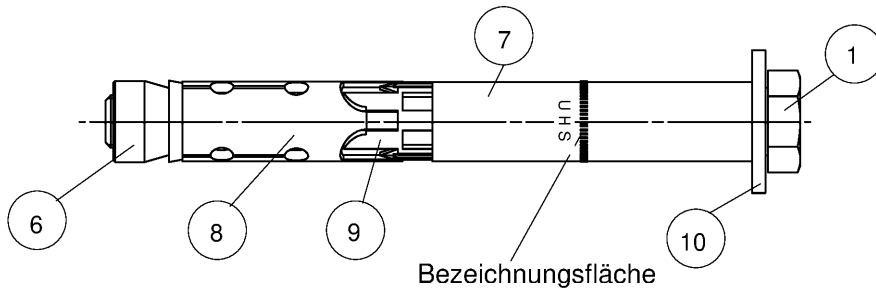
5 Für die Durchführung des Systems zur Bewertung und Überprüfung der Leistungsbeständigkeit erforderliche technische Einzelheiten gemäß anwendbarem Europäischen Bewertungsdokument

Technische Einzelheiten, die für die Durchführung des Systems zur Bewertung und Überprüfung der Leistungsbeständigkeit notwendig sind, sind Bestandteil des Kontrollplans, der beim Deutschen Institut für Bautechnik hinterlegt ist.

Ausgestellt in Berlin am 23. September 2020 vom Deutschen Institut für Bautechnik

BD Dipl.-Ing. Andreas Kummerow
Abteilungsleiter

Beglaubigt:
Baderschneider



Sechskantschraubenversion S

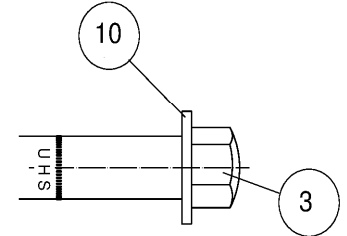
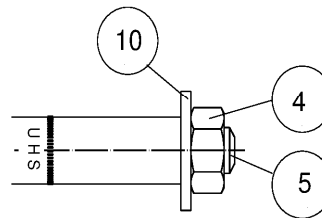
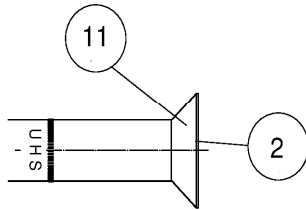
UHS 10 - 32 S

UHS 10 - 24 S R

Produktkennzeichnung,
Beispiel

Dübeltyp UHS 15/25 R

Kennzeichnung R
Nomineller Bohrdurchmesser/max.
Dicke des Anbauteils (t_{fix})



Senkkopfschraubenversion SK

UHS 10 - 18 SK

UHS 10 - 18 SK R

Gewindebolzenversion B

UHS 10 - 32 B

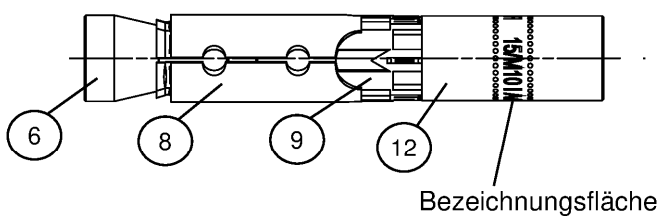
UHS 10 - 24 B R

Hutmutterversion H

UHS 10 - 24 H

UHS 10 - 24 H R

- | | | |
|---------------------|-----------------|----------------------|
| 1 Sechskantschraube | 5 Gewindestange | 9 Kunststoffhülse |
| 2 Senkschraube | 6 Konusmutter | 10 Scheibe |
| 3 Hutmutter | 7 Distanzhülse | 11 Senkscheibe |
| 4 Sechskantmutter | 8 Spreizhülse | 12 Innengewindehülse |



Innengewindeanker
UHS 12 M6-I oder M8-I
UHS 15 M10-I oder M12-I

Produktkennzeichnung,
Beispiel:

Dübeltyp UHS 12/M8-I R

Kennzeichnung R
Nomineller Bohrdurchmesser / Größe vom Gewinde

(Abbildungen nicht maßstäblich)

Upat Hülseanker UHS, UHS-I

Produktbeschreibung

Dübeltypen UHS, UHS R, UHS-I, UHS-I R

Anhang A 1

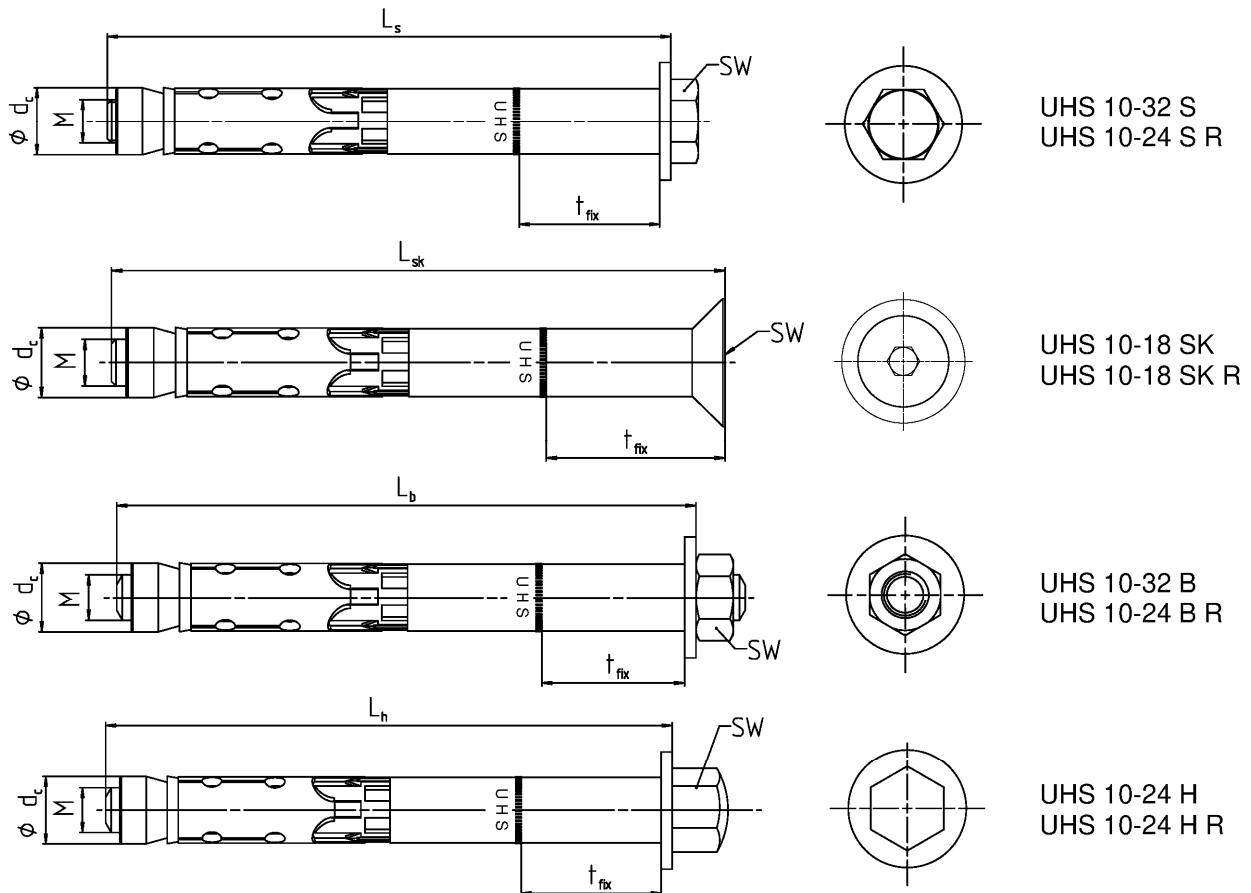


Tabelle A2.1: Dübelabmessungen [mm] UHS und UHS R

Dübeltyp		UHS 10	UHS 12	UHS 15	UHS 18	UHS 24	UHS 28	UHS 32
Gewinde	M	6	8	10	12	16	20	24
Durchmesser Konusmutter	d _c	10	12	14,8	17,8	23,7	27,5	31,5
Schlüsselweite SW	UHS-S, -B	10	13	17	19	24	30	36
	UHS-SK ¹⁾	4	5	6	8	- ³⁾		
	UHS-H	13	17	17	19	24	- ³⁾	
	UHS-S R, -B R, -H R	10	13	17	19	24	- ³⁾	
	UHS-SK R ¹⁾	4	5	6	8	- ³⁾		
t _{fix} UHS-S, -B, -H + UHS-S R, -B R, -H R	min	0	0	0	0	0	0	0
t _{fix} UHS-SK ²⁾ + UHS-SK R ²⁾	min	5	6	6	8	- ³⁾		
Schrauben- / Bolzenlänge	L _s , L _h , L _b (- t _{fix}) ≥	49	74	89	99	124	149	174
Senkkopfschraubenlänge	L _{sk} (- t _{fix}) ≥	54	79	95	107	- ³⁾		

¹⁾ Innensechskant

²⁾ Der Einfluss der Anbauteildicke auf die charakteristische Quertragfähigkeit bei Stahlversagen ohne Hebelarm ist zu berücksichtigen siehe Tabellen C3.1, C8.1 und C9.1

³⁾ Dübelvariante nicht Bestandteil der ETA

(Abbildungen nicht maßstäblich)

Upat Hülsenanker UHS, UHS-I

Produktbeschreibung
Dübelabmessungen UHS, UHS R

Anhang A 2

Tabelle A3.1: Materialien UHS und UHS R

Nr.	Bezeichnung	Material	
		UHS	UHS R
	Stahlsorte	Stahl	Nichtrostender Stahl R
		Galvanisch verzinkt nach EN ISO 4042:2018, $\geq 5 \mu\text{m}$	Nichtrostender Stahl EN 10088:2014
1	Sechskantschraube	Stahl Festigkeitsklasse 8.8; EN ISO 898-1:2013	Festigkeitsklasse 80 EN ISO 3506:2020
2	Senkkopfschraube		
3	Hutmutter		
4	Sechskantmutter		
5	Gewindestange	Stahl $f_{uk} \geq 800 \text{ N/mm}^2$; $f_{yk} \geq 640 \text{ N/mm}^2$	Nichtrostender Stahl EN 10088:2014 $f_{uk} \geq 800 \text{ N/mm}^2$; $f_{yk} \geq 640 \text{ N/mm}^2$
6	Konusmutter	Stahl EN 10277:2018	Nichtrostender EN 10088:2014
7	Distanzhülse	Stahl EN 10305:2016	
8	Spreizhülse	Stahl EN 10139:2020/ EN 10277:2018	
9	Kunststoffhülse	ABS (Kunststoff)	
10	Scheibe	Stahl EN 10139:2020	Nichtrostender EN 10088:2014
11	Senkscheibe	Stahl EN 10277:2018	
Upat Hülsenanker UHS, UHS-I			Anhang A 3
Produktbeschreibung Materialien UHS und UHS R			

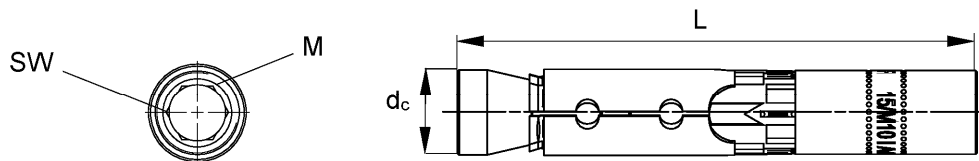


Tabelle A4.1: Dübelabmessungen [mm] UHS-I und UHS-I R

Dübeltyp UHS-I, UHS-I R		UHS 12/M6 I	UHS 12/M8 I	UHS 15/M10 I	UHS 15/M12 I
Gewinde	M	6	8	10	12
Durchmesser Konusmutter	d _c	12	12	14,8	14,8
Schlüsselweite Innensechskant	SW	6	8	6	8
Dübellänge	L	77,5	77,5	90	90

Tabelle A4.2: Materialien UHS-I und UHS-I R

Nr.	Bezeichnung	Material	
		UHS-I	UHS-I R
	Stahlsorte	Stahl Galvanisch verzinkt nach EN ISO 4042:2018, ≥ 5 µm	Nichtrostender Stahl R Nichtrostender Stahl EN 10088:2014
6	Konusmutter	Stahl EN 10277:2018	Nichtrostender Stahl EN 10088:2014
8	Spreizhülse	Stahl EN 10139:2020 / EN 10277:2018	
9	Kunststoffhülse	ABS (Kunststoff)	
12	Innengewindebolzen	Stahl EN 10277:2018 f _{uk} ≥ 750 N/mm ² , f _{yk} ≥ 600 N/mm ²	Nichtrostender Stahl EN 10088:2014 f _{uk} ≥ 750 N/mm ² , f _{yk} ≥ 600 N/mm ²
	Anforderung an die Befestigungsmittel	Stahl Festigkeitsklasse 5.8, 6.8 oder 8.8 EN ISO 898-1:2013 ¹⁾	Festigkeitsklasse A50, A70 oder A80 EN ISO 3506:2020 1.4362, 1.4401, 1.4404, 1.4571, 1.4529



Upat Hülsenanker UHS, UHS-I

Produktbeschreibung
Dübelabmessungen und Materialien UHS-I, UHS I-R

Anhang A 4

Spezifizierung des Verwendungszwecks

Beanspruchung der Verankerung:

Größe		10	12	15	18	24	28	32
Hochleistungsanker	UHS-S, -B				✓			
	UHS-H, -S R, -B R, -H R			✓				1)
	UHS-SK, UHS-SK R		✓					1)
Hochleistungsanker UHS-I, UHS-I R		1)	✓				1)	
Hammerbohren mit Standard-Bohrer 								
Hammerbohren mit Hohlbohrer mit automatischer Reinigung 								
Statische und quasi-statische Belastungen								
Gerissener und ungerissener Beton								
Brandbeanspruchung								
Seismik Leistungskategorie	C1 UHS	2)			✓			
	C1 UHS R			✓			1)	
	C2 UHS				✓			
	C2 UHS R			✓			1)	
	C1 UHS-I, UHS-I R	1)	2)				1)	
	C2 UHS-I, UHS-I R							

1) Dübelvariante nicht Bestandteil der ETA

2) Leistung nicht bewertet

Verankerungsgrund:

- Verdichteter bewehrter oder unbewehrter Normalbeton ohne Fasern (gerissen oder ungerissen) der Festigkeitsklassen C20/25 bis C50/60 gemäß EN 206:2013+A1:2016

Anwendungsbedingungen (Umweltbedingungen):

- Bauteile unter den Bedingungen trockener Innenräume (UHS, UHS R, UHS-I, UHS-I R)
- Bauteile im Freien (einschließlich Industrielatmosphäre und Meeresnähe) oder in Feuchträumen, wenn keine besonders aggressiven Bedingungen vorliegen (UHS R, UHS-I R)

Anmerkung: Aggressive Bedingungen sind z.B. ständiges, abwechselndes Eintauchen in Meerwasser oder der Bereich der Spritzzone von Meerwasser, chlorhaltige Atmosphäre in Schwimmbadhallen oder Atmosphäre mit extremer chemischer Verschmutzung (z.B. in Rauchgas-Entschwefelungsanlagen oder Straßentunneln, in denen Enteisungsmittel verwendet werden)

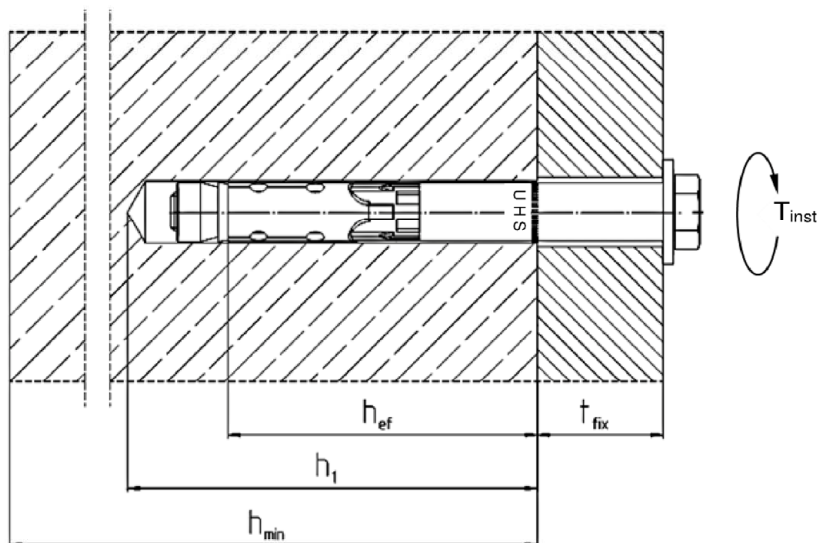
Bemessung:

- Die Bemessung der Verankerung erfolgt unter der Verantwortung eines auf dem Gebiet der Verankerungen und des Betonbaus erfahrenen Ingenieurs.
- Unter Berücksichtigung der zu verankernden Lasten werden prüfbare Berechnungen und Konstruktionszeichnungen angefertigt. In den Konstruktionszeichnungen ist die Position der Dübel anzugeben (z. B. Lage des Dübels zur Bewehrung oder zu den Auflagern usw.)
- Bemessung der Verankerungen erfolgt nach EN 1992-4:2018 und EOTA Technical Report TR 055, Fassung Februar 2018

Upat Hülsenanker UHS, UHS-I

Verwendungszweck
Spezifikation

Anhang B 1



- h_{ef} = Effektive Verankerungstiefe
- t_{fix} = Dicke des Anbauteils
- h_1 = Tiefe des Bohrlochs bis zum tiefsten Punkt
- h_{min} = Minimale Dicke des Betonbauteils
- T_{inst} = Montage Drehmoment

Tabelle B2.1: Montagekennwerte UHS und UHS R

Dübeltyp UHS-S, -SK, -B, -H und UHS-S R, -SK R, -B R, -H R	UHS 10	UHS 12	UHS 15	UHS 18	UHS 24	UHS 28	UHS 32	
Nomineller Bohrdurchmesser d_o	10	12	15	18	24	28	32	
Maximaler Schneiden- durchmesser $d_{cut} \leq$	10,45	12,50	15,50	18,50	24,55	28,55	32,70	
Bohrlochtiefe am tiefsten Punkt $h_1 \geq$ [mm]	55	80	90	105	125	155	180	
Durchmesser des Durchgangs- lochs im Anbauteil $d_i \leq$	12	14	17	20	26	31	35	
Durchmesser der Senkung UHS-SK [mm]	18	22	25	32	1)			
Senktiefe, Senkwinkel 90° UHS-SK R [mm]	5,0	5,8	5,8	8,0	1)			
Montage- dreh- moment T_{inst} [Nm]	UHS-S	22,5	40	80	160	180	200	
	UHS-B	17,5	38		120	180	200	
	UHS-H	22,5	40		90	1)		
	UHS-SK	1)						
	UHS-S R, UHS-B R	15	25	40	100	160	1)	
	UHS-H R	10				1)		
UHS-SK R	1)							

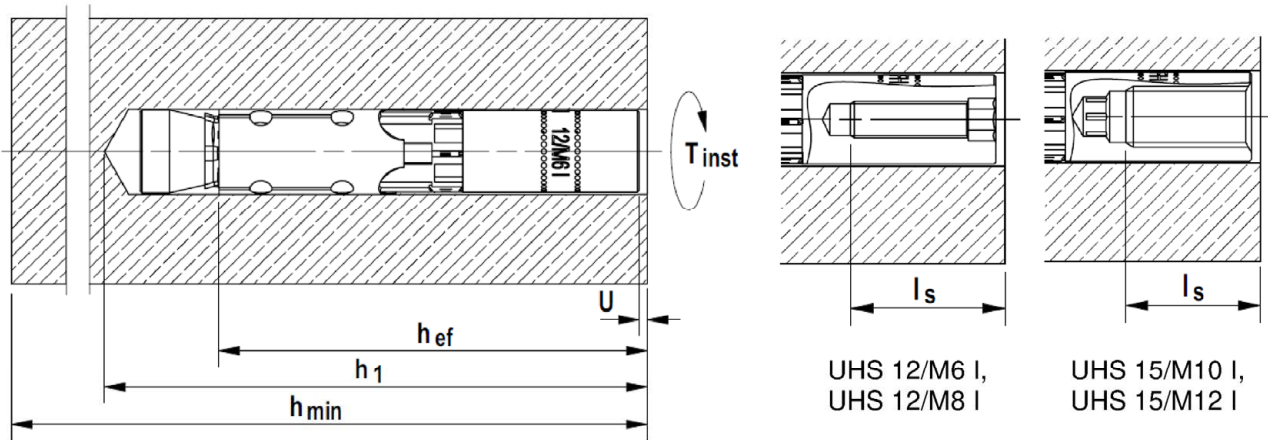
1) Dübelvariante nicht Bestandteil der ETA

(Abbildungen nicht maßstäblich)

Upat Hülseanker UHS, UHS-I

Verwendungszweck
Montagekennwerte UHS, UHS R

Anhang B 2



- h_{ef} = Effektive Verankerungstiefe
 h_1 = Tiefe des Bohrlochs bis zum tiefsten Punkt
 h_{min} = Minimale Dicke des Betonbauteils
 T_{inst} = Montagedrehmoment
 U = Hülsenunterstand
 l_s = Einschraubtiefe

Tabelle B3.1: Montagekennwerte UHS-I und UHS-I R

Dübeltyp UHS-I und UHS-I R	UHS 12/M6 I	UHS 12/M8 I	UHS 15/M10 I	UHS 15/M12 I
Nomineller Bohrdurchmesser d_0	12		15	
Maximaler Schneidendurchmesser $d_{cut} \leq$	12,50		15,50	
Bohrlochtiefe am tiefsten Punkt $h_1 \geq$ [mm]	85		95	
Durchmesser des Durchgangslochs im Anbauteil $d_f \leq$	7	9	12	14
Hülsenunterstand ¹⁾ U	3 - 5			
Montagedrehmoment ¹⁾ T_{inst} [Nm]	15		25	
Minimale Einschraubtiefe $l_s \geq$	11 + U	13 + U	10 + U	12 + U
Maximale Einschraubtiefe $l_s \leq$ [mm]	20 + U			
Maximales Montagedrehmoment des Befestigungsmittels Schrauben oder Gewindestange Festigkeitsklasse ≥ 5.8 oder $\geq A50$ $\max T_{fix}$ [Nm]	3	8	15	20

¹⁾ Nur eine der beiden Bedingungen der Unterstand U oder das Montagedrehmoment T_{inst} muss erfüllt sein

(Abbildungen nicht maßstäblich)

Upat Hülsenanker UHS, UHS-I

Verwendungszweck
Montagekennwerte UHS-I, UHS-I R

Anhang B 3

Montageanleitung:

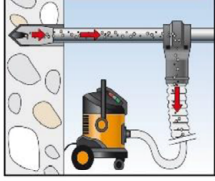
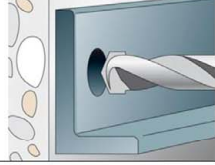
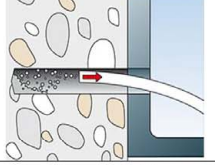
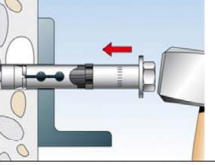
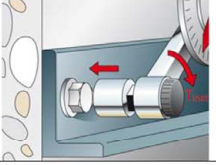
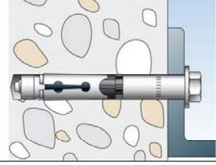


- Einbau durch entsprechend geschultes Personal unter Aufsicht des Bauleiters
- Einbau nur so, wie vom Hersteller geliefert, ohne Austausch der einzelnen Teile
- Überprüfung vor dem Setzen des Dübels, ob die Festigkeitsklasse des Betons, in den der Dübel gesetzt werden soll, nicht niedriger ist, als die Festigkeitsklasse des Betons, für den die charakteristischen Tragfähigkeiten gelten
- Einwandfreie Verdichtung des Betons, z. B. keine signifikanten Hohlräume
- Hammer- oder Hohlbohren gemäß Anhang B5 und B6
- Bohrloch senkrecht +/- 5° zur Oberfläche des Verankerungsgrundes erstellen, ohne die Bewehrung zu beschädigen
- Bei Fehlbohrungen: Anordnung eines neuen Bohrlochs in einem Abstand, der mindestens der doppelten Tiefe der Fehlbohrung entspricht, oder in geringerem Abstand, wenn die Fehlbohrung mit hochfestem Mörtel verfüllt wird und wenn sie bei Quer- oder Schrägzuglast nicht in Richtung der aufgetragenen Last liegt

Upat Hülseanker UHS, UHS-I

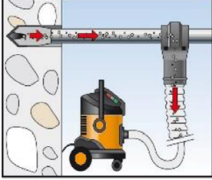
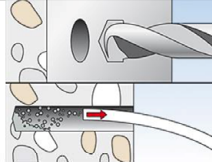
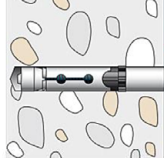
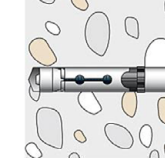
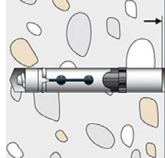
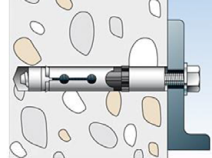
Verwendungszweck
Montageanleitung

Anhang B 4



Montageanleitung für fischer Hochleistungsanker
UHS 10 - UHS 32 und UHS 10 R - UHS 24 R

Hohlbohren						Weiter mit Schritt 3, 4 und 5			
Hammerbohren									
	Montageanleitung UHS 10 - 32 S und UHS 10 - 24 S R								
	Montageanleitung UHS 10 - 18 SK und UHS 10 - 18 SK R								
	Montageanleitung UHS 10 - 32 B und UHS 10 - 24 B R								
Montageanleitung UHS 10 - 24 H und UHS 10 - 24 H R									
Schritt	1	2	3	4	5				
Schritt	Beschreibung								
1	Bohrloch erstellen mit Hammerbohrer		Bohrloch erstellen mit Hohlbohrer und Staubsauger						
2	Bohrloch reinigen		-						
3	Anker setzen								
4	Anker mit dem Montagedrehmoment T_{inst} verspreizen								
5	Abgeschlossene Montage								
Bohrerarten									
Hammerbohrer									
Hohlbohrer									
Upat Hülseanker UHS, UHS-I					Anhang B 5				
Verwendungszweck Montageanleitung UHS, UHS R									

Montageanleitung für fischer Hochleistungsanker Innengewinde
UHS-I und UHS-I R

Hohl- bohren		Weiter mit Schritt 2, 3, und 4			
Hammer- bohren					
Schritt	1	2	3	4	

Schritt	Beschreibung
1	Bohrloch erstellen mit Hammerbohrer, Bohrloch reinigen
2	Bohrloch erstellen mit Hohlbohrer und Staubsauger
3	Einschlagen des Ankers mit einem Hammer bündig zur Betonoberfläche
4	Anziehen des Ankers. Es sollte der im Lieferumfang enthaltene Sechskant-Bit verwendet werden. Andere Anzugsmethoden sind zulässig. Den Dübel im Beton so weit anziehen, bis der Spalt U 3 - 5 mm beträgt oder das erforderliche Montagedrehmoment T_{inst} erreicht ist. Nur eine der beiden Bedingungen muss erfüllt sein.
4	Befestigen Sie das Anbauteil und verwenden Sie eine Schraube oder eine Gewindestange. Die Länge der Schraube oder Gewindestange sollte in Abhängigkeit von der Dicke des Anbauteils t_{fix} , den zulässigen Toleranzen und der verfügbaren Gewindelänge $l_{s,max}$ und $l_{s,min}$ einschließlich des Unterstandes U bestimmt werden. Schraube mit Drehmoment anziehen $\leq \max T_{fix}$ ($\max T_{fix}$ siehe Tabelle B3.1)

Bohrerarten	
Hammerbohrer	
Hohlbohrer	

Upat Hülsenanker UHS, UHS-I	Anhang B 6
Verwendungszweck Montageanleitung UHS-I, UHS-I R	

Tabelle C1.1: Leistungsmerkmale der **Zugtragfähigkeit** unter statischer und quasi-statischer Belastung für UHS und UHS R

Dübeltyp UHS-S, -SK, -B, -H und UHS-S R, -SK R, -B R, -H R		UHS 10	UHS 12	UHS 15	UHS 18	UHS 24	UHS 28	UHS 32
Stahlversagen								
UHS-S, -B,		16,1	29,3	46,4	67,4	125,3	195,8	282,0
UHS-H, UHS-H R, -B R	$N_{Rk,s}$ [kN]	16,1	29,3	46,4	67,4	125,3	2)	
UHS-SK		16,1	29,3	46,4	67,4	2)		
Teilsicherheitsbeiwert	γ_{Ms}^1 [-]	1,5						
UHS-S R,		16,1	29,3	46,4	67,4	125,3	2)	
UHS-SK R	$N_{Rk,s}$ [kN]	16,1	29,3	46,4	67,4	2)		
Teilsicherheitsbeiwert	γ_{Ms}^1 [-]	1,6						
Herausziehen								
Charakteristischer Widerstand in gerissenem Beton C20/25 UHS und UHS R		7,5	12,0	16,0	25,0	34,4	48,1	63,3
Charakteristischer Widerstand in ungerissenem Beton C20/25 UHS	$N_{Rk,p}$ [kN]	12,5	22,9	28,8	35,2	49,2	68,8	90,4
Charakteristischer Widerstand in ungerissenem Beton C20/25 UHS R		12,5	20,0	28,8	35,2	49,2	2)	
Erhöhungsfaktoren für $N_{Rk,p}$ für gerissenen und ungerissenen Beton	ψ_c	C25/30	1,12					
		C30/37	1,22					
		C35/45	1,32					
		C40/50	1,41					
		C45/55	1,50					
		C50/60	1,58					
Montagebeiwert	γ_{inst} [-]	1,0						
Betonversagen und Spalten								
Effektive Verankerungstiefe	h_{ef} [mm]	40	60	70	80	100	125	150
Faktor für gerissenem Beton	$k_{cr,N}$ [-]	7,7 ³⁾						
Faktor für ungerissenem Beton	$k_{ucr,N}$ [-]	11,0 ³⁾						
Achsabstand	$s_{cr,N}$	120	180	210	240	300	375	450
Randabstand	$c_{cr,N}$	60	90	105	120	150	187,5	225
Achsabstand (Spalten)	$s_{cr,sp}$	190	300	320	340	380	480	570
Randabstand (Spalten)	$c_{cr,sp}$	95	150	160	170	190	240	285
Charakteristischer Widerstand gegen Spalten	$N^0_{Rk,sp}$ [kN]	min $\{N^0_{Rk,c}, N_{Rk,p}\}$ ⁴⁾						
¹⁾ Sofern keine anderen nationalen Regelungen vorliegen ²⁾ Dübelvariante nicht Bestandteil der ETA ³⁾ Bezogen auf Betondruckfestigkeit als Zylinderdruckfestigkeit ⁴⁾ $N^0_{Rk,c}$ nach EN 1992-4:2018								
Upat Hülseanker UHS, UHS-I						Anhang C 1		
Leistungen Leistungsmerkmale für die Zugtragfähigkeit für UHS und UHS R								

Tabelle C2.1: Leistungsmerkmale der **Zugtragfähigkeit** unter statischer und quasi-statischer Belastung für UHS-I und UHS-I R

Dübeltyp UHS-I und UHS-I R		UHS 12/M6 I	UHS 12/M8 I	UHS 15/M10 I	UHS 15/M12 I
Stahlversagen					
Dübel in Kombination mit Schraube / Gewindestange verzinkter Stahl nach DIN EN ISO 898					
Festigkeitsklasse 5.8		10	19	29	43
Festigkeitsklasse 6.8	$N_{Rk,s}$ [kN]	12	23	35	44
Festigkeitsklasse 8.8		16	27	44	44
Teilsicherheitsbeiwert	$\gamma_{Ms}^{1)}$ [-]	1,5			
Dübel in Kombination mit Schraube / Gewindestange nichtrostender Stahl nach DIN EN ISO 3506					
Festigkeitsklasse A50	$N_{Rk,s}$ [kN]	10	19	29	43
Teilsicherheitsbeiwert	$\gamma_{Ms}^{1)}$ [-]	2,86			
Festigkeitsklasse A70	$N_{Rk,s}$ [kN]	14	26	41	54
Teilsicherheitsbeiwert	$\gamma_{Ms}^{1)}$ [-]	1,87			
Festigkeitsklasse A80	$N_{Rk,s}$ [kN]	16	29	46	46
Teilsicherheitsbeiwert	$\gamma_{Ms}^{1)}$ [-]	1,60			
Herausziehen					
Charakteristischer Widerstand im gerissenen Beton C20/25	$N_{Rk,p}$ [kN]	9		12	
Charakteristischer Widerstand im ungerissenen Beton C20/25		20		28,8	
Erhöhungsfaktoren für $N_{Rk,p}$ für gerissenen und ungerissenen Beton ψ^c	C25/30	1,12			
	C30/37	1,22			
	C35/45	1,32			
	C40/50	1,41			
	C45/55	1,50			
	C50/60	1,58			
Montagebeiwert	γ_{inst} [-]	1,0			
Betonversagen und Spalten					
Effektive Verankerungstiefe	h_{ef} [mm]	60		70	
Faktor für gerissenen Beton	$k_{cr,N}$ [-]	7,7 ³⁾			
Faktor für ungerissenen Beton	$k_{ucr,N}$ [-]	11,0 ³⁾			
Achsabstand	$s_{cr,N}$	180		210	
Randabstand	$c_{cr,N}$	90		105	
Achsabstand (Spalten)	$s_{cr,sp}$	300		320	
Randabstand (Spalten)	$c_{cr,sp}$	150		160	
Charakteristischer Widerstand gegen Spalten	$N^0_{Rk,sp}$ [kN]	$\min \{N^0_{Rk,c}, N_{Rk,p}\}^{3)}$			
¹⁾ Sofern keine anderen nationalen Regelungen vorliegen ²⁾ Bezogen auf Betondruckfestigkeit als Zylinderdruckfestigkeit ³⁾ $N^0_{Rk,c}$ nach EN 1992-4:2018					
Upat Hülsenanker UHS, UHS-I					Anhang C 2
Leistungen Leistungsmerkmale für die Zugtragfähigkeit für UHS-I und UHS-I R					

Tabelle C3.1: Leistungsmerkmale der **Quertragfähigkeit** für **UHS und UHS R** unter statischer und quasi-statischer Belastung

Dübeltyp UHS-S, -SK, -B, -H und UHS-S R, -SK R, -B R, -H R		UHS 10	UHS 12	UHS 15	UHS 18	UHS 24	UHS 28	UHS 32
Montagebeiwert γ_{inst} [-]		1,0						
Stahlversagen ohne Hebelarm								
UHS-S		18,0	33,0	59,0	76,0	146,0	176,4	217,0
UHS-B	$V^{0}_{Rk,s}$ [kN]	16,0	27,2	42,8	61,9	119,0	148,8	169,0
UHS-H		16,0	27,2	42,8	61,9	119,0	3)	
UHS-SK	$t_{fix}^{2)}$ [mm]	≥ 10		≥ 15		3)		
	$V^{0}_{Rk,s}$ [kN]	18,0	33,0	59,0	76,0			
	$t_{fix}^{2)}$ [mm]	< 10		< 15				
	$V^{0}_{Rk,s}$ [kN]	8,0	14,0	23,0	34,0			
Teilsicherheitsbeiwert $\gamma_{Ms}^{1)}$ [-]		1,25						
Faktor für Duktilität k_7		1,0						
UHS-S R	$V^{0}_{Rk,s}$ [kN]	18,0	33,0	59,0	76,0	146,0	3)	
Teilsicherheitsbeiwert $\gamma_{Ms}^{1)}$ [-]		1,33						
UHS-B R, -H R	$V^{0}_{Rk,s}$ [kN]	16,0	27,2	42,8	61,9	119,0	3)	
Teilsicherheitsbeiwert $\gamma_{Ms}^{1)}$ [-]		1,25						
UHS-SK R	$t_{fix}^{2)}$ [mm]	≥ 10		≥ 15		3)		
	$V^{0}_{Rk,s}$ [kN]	18,0	33,0	59,0	76,0			
	$t_{fix}^{2)}$ [mm]	< 10		< 15				
	$V^{0}_{Rk,s}$ [kN]	8,0	14,0	23,0	34,0			
Teilsicherheitsbeiwert $\gamma_{Ms}^{1)}$ [-]		1,33						
Faktor für Duktilität k_7		1,0						
Stahlversagen mit Hebelarm und Pryoutversagen								
Charakteristisches Biegemoment UHS-S, -SK, -B, -H	$M^{0}_{Rk,s}$ [Nm]	12	30	60	105	266	518	896
Teilsicherheitsbeiwert $\gamma_{Ms}^{1)}$ [-]		1,25						
Charakteristisches Biegemoment UHS-S R, -SK R, -B R, -H R	$M^{0}_{Rk,s}$ [Nm]	12	30	60	105	266	3)	
Teilsicherheitsbeiwert $\gamma_{Ms}^{1)}$ [-]	UHS-B R, -H R	1,25						
	UHS-S R, -SK R	1,33						
Faktor für Pryoutversagen k_8 [-]		1,0	2,0					
Betonkantenbruch								
Effektive Verankerungstiefe für die Berechnung l_f [mm]		h_{ef}						
Dübeldurchmesser d_{nom}		10	12	15	18	24	28	32
1) Sofern keine anderen nationalen Regelungen vorliegen 2) Die Dicke des Anbauteils hat Einfluss auf die charakteristische Quertragfähigkeit 3) Leistung nicht bewertet								
Upat Hülsenanker UHS, UHS-I						Anhang C 3		
Leistungen Leistungsmerkmale für Quertragfähigkeit für UHS und UHS R								

Tabelle C4.1: Leistungsmerkmale für **Quertragfähigkeit** für **UHS-I und UHS-I R** unter statischer und quasi-statischer Belastung

Dübeltyp UHS-I und UHS-I R		UHS 12/M6 I	UHS 12/M8 I	UHS 15/M10 I	UHS 15/M12 I
Montagebeiwert	γ_{inst} [-]	1,0			
Stahlversagen ohne Hebelarm					
Dübel in Kombination mit Schraube / Gewindestange galvanisch verzinkter Stahl nach DIN EN ISO 898:2013					
Festigkeitsklasse 5.8		5	9	15	21
Festigkeitsklasse 6.8	$V_{RK,s}^0$ [kN]	6	11	18	24
Festigkeitsklasse 8.8		8	14	23	24
Teilsicherheitsbeiwert	$\gamma_{Ms}^{1)}$ [-]	1,25			
Faktor für Duktilität	k_7	1,0			
Dübel in Kombination mit Schraube / Gewindestange nichtrostender Stahl nach DIN EN ISO 3506:2010					
Festigkeitsklasse A50	$V_{RK,s}^0$ [kN]	5	9	15	21
Teilsicherheitsbeiwert	$\gamma_{Ms}^{1)}$ [-]	2,38			
Festigkeitsklasse A70	$V_{RK,s}^0$ [kN]	7	13	20	30
Teilsicherheitsbeiwert	$\gamma_{Ms}^{1)}$ [-]	1,56			
Festigkeitsklasse A80	$V_{RK,s}^0$ [kN]	8	15	23	32
Teilsicherheitsbeiwert	$\gamma_{Ms}^{1)}$ [-]	1,33			
Faktor für Duktilität	k_7	1,0			
Stahlversagen mit Hebelarm und Betonausbruch auf der lastabgewandten Seite					
Anker in Kombination mit Schraube / Gewindestange galvanisch verzinkter Stahl nach DIN EN ISO 898:2013					
Festigkeitsklasse 5.8		8	19	37	65
Festigkeitsklasse 6.8	$M_{RK,s}^0$ [Nm]	9	23	44	78
Festigkeitsklasse 8.8		12	30	60	105
Teilsicherheitsbeiwert	$\gamma_{Ms}^{1)}$ [-]	1,25			
Faktor für Duktilität	k_7	1,0			
Dübel in Kombination mit Schraube / Gewindestange nichtrostender Stahl nach DIN EN ISO 3506:2010					
Festigkeitsklasse A50	$M_{RK,s}^0$ [Nm]	8	19	37	65
Teilsicherheitsbeiwert	$\gamma_{Ms}^{1)}$ [-]	2,38			
Festigkeitsklasse A70	$M_{RK,s}^0$ [Nm]	11	26	52	92
Teilsicherheitsbeiwert	$\gamma_{Ms}^{1)}$ [-]	1,56			
Festigkeitsklasse A80	$M_{RK,s}^0$ [Nm]	12	30	60	105
Teilsicherheitsbeiwert	$\gamma_{Ms}^{1)}$ [-]	1,33			
Faktor für Duktilität	k_7 [-]	1,0			
Faktor für Pryoutversagen	k_8	2,0			
Betonkantenbruch					
Effektive Verankerungstiefe für die Berechnung	$l_f =$ [mm]	h_{ef}			
Dübeldurchmesser	d_{nom}	12		15	
1) Sofern keine anderen nationalen Regelungen vorliegen					
Upat Hülsenanker UHS, UHS-I					Anhang C 4
Leistungen Leistungsmerkmale für Quertragfähigkeit für UHS-I und UHS-I R					

Tabelle C5.1: Leistungsmerkmale der Zugtragfähigkeit unter Brandbeanspruchung

Dübeltyp	R30			R60		
	$N_{Rk,s,fi,30}$ [kN]	$N_{Rk,p,fi,30}$ [kN]	$N^0_{Rk,c,fi,30}$ [kN]	$N_{Rk,s,fi,60}$ [kN]	$N_{Rk,p,fi,60}$ [kN]	$N^0_{Rk,c,fi,60}$ [kN]
UHS 10, UHS 10 R	0,2	1,8	1,8	0,2	1,8	1,8
UHS 12, UHS 12 R	2,0	3,0	5,0	1,3	3,0	5,0
UHS 15, UHS 15 R	3,2	4,0	7,4	2,3	4,0	7,4
UHS 18, UHS 18 R	4,8	6,3	10,3	3,9	6,3	10,3
UHS 24, UHS 24 R	8,9	9,0	18,0	7,3	9,0	18,0
UHS 28	13,9	12,6	31,4	11,3	12,6	31,4
UHS 32	20,0	16,5	49,6	16,3	16,5	49,6
UHS 12/M6-I, 5.8, A50 ¹⁾	0,1	2,3	5,0	0,1	2,3	5,0
UHS 12/M6-I R 8.8, A70, A80 ^{1) 2)}	0,2			0,2		
UHS 12/M8-I, 5.8, A50 ¹⁾	1,3			0,8		
UHS 12/M8-I R 8.8, A70, A80 ^{1) 2)}	2,0			1,3		
UHS 15/M10-I, 5.8, A50 ¹⁾	2,0	3,0	7,4	1,4	3,0	7,4
UHS 15/M10-I R 8.8, A70, A80 ^{1) 2)}	3,2			2,3		
UHS 15/M12-I, 5.8/A50 ¹⁾	3,0			2,4		
UHS 15/M12-I R 8.8, A70, A80 ^{1) 2)}	4,8			3,9		
Dübeltyp	R90			R120		
	$N_{Rk,s,fi,90}$ [kN]	$N_{Rk,p,fi,90}$ [kN]	$N^0_{Rk,c,fi,90}$ [kN]	$N_{Rk,s,fi,120}$ [kN]	$N_{Rk,p,fi,120}$ [kN]	$N^0_{Rk,c,fi,120}$ [kN]
UHS 10, UHS 10 R	0,1	1,8	1,8	0,1	1,5	1,5
UHS 12, UHS 12 R	0,6	3,0	5,0	0,2	2,4	4,0
UHS 15, UHS 15 R	1,4	4,0	7,4	1,0	3,2	5,9
UHS 18, UHS 18 R	3,0	6,3	10,3	2,6	5,0	8,2
UHS 24, UHS 24 R	5,6	9,0	18,0	4,8	7,2	14,4
UHS 28	8,8	12,6	31,4	7,5	10,1	25,2
UHS 32	12,6	16,5	49,6	10,8	13,2	39,7
UHS 12/M6-I, 5.8, A50 ¹⁾	0,1	2,3	5,0	0,1	1,8	4,0
UHS 12/M6-I R 8.8, A70, A80 ^{1) 2)}	0,1			0,1		
UHS 12/M8-I, 5.8, A50 ¹⁾	0,4			0,1		
UHS 12/M8-I R 8.8, A70, A80 ^{1) 2)}	0,6			0,2		
UHS 15/M10-I, 5.8, A50 ¹⁾	0,9	3,0	7,4	0,6	2,4	5,9
UHS 15/M10-I R 8.8, A70, A80 ^{1) 2)}	1,4			1,0		
UHS 15/M12-I, 5.8/A50 ¹⁾	1,9			1,6		
UHS 15/M12-I R 8.8, A70, A80 ^{1) 2)}	3,0			2,6		
¹⁾ Zwischenwerte dürfen interpoliert werden ²⁾ In Kombination mit Schraube / Gewindestange der Festigkeitsklasse 8.8, A70, A80						
Upat Hülsenanker UHS, UHS-I					Anhang C 5	
Leistungen Leistungsmerkmale für Zugtragfähigkeit unter Brandbeanspruchung in gerissenem und ungerissenem Beton						

Tabelle C6.1: Leistungsmerkmale der **Quertragfähigkeit** unter **Brandbeanspruchung**

Dübeltyp	R30		R60	
	$V_{Rk,s,fi,30}$ [kN]	$M^0_{Rk,s,fi,30}$ [Nm]	$V_{Rk,s,fi,60}$ [kN]	$M^0_{Rk,s,fi,60}$ [Nm]
UHS 10, UHS 10 R	0,3	0	0,3	0
UHS 12, UHS 12 R	2,0	2	1,3	1
UHS 15, UHS 15 R	3,2	4	2,3	3
UHS 18, UHS 18 R	4,8	7	3,9	6
UHS 24, UHS 24 R	8,9	19	7,3	15
UHS 28	13,9	37	11,3	30
UHS 32	20,0	64	16,3	52
UHS 12/M6 I, 5.8, A50 ¹⁾	0,2	0	0,2	0
UHS 12/M6 I R 8.8, A70, A80 ^{1) 2)}	0,3	0	0,3	0
UHS 12/M8 I, 5.8, A50 ¹⁾	1,3	1	0,8	1
UHS 12/M8-I R 8.8, A70, A80 ^{1) 2)}	2,0	2	1,3	1
UHS 15/M10 I, 5.8, A50 ¹⁾	2,0	3	1,4	2
UHS 15/M10-I R 8.8, A70, A80 ^{1) 2)}	3,2	4	2,3	3
UHS 15/M12-I, 5.8/A50 ¹⁾	3,0	4	2,4	4
UHS 15/M12-I R 8.8, A70, A80 ^{1) 2)}	4,8	7	3,9	6
Dübeltyp	R90		R120	
	$V_{Rk,s,fi,90}$ [kN]	$M^0_{Rk,s,fi,90}$ [Nm]	$V_{Rk,s,fi,120}$ [kN]	$M^0_{Rk,s,fi,120}$ [Nm]
UHS 10, UHS 10 R	0,2	0	0,1	0
UHS 12, UHS 12 R	0,6	1	0,2	0
UHS 15, UHS 15 R	1,4	2	1,0	1
UHS 18, UHS 18 R	3,0	5	2,6	4
UHS 24, UHS 24 R	5,6	12	4,8	10
UHS 28	8,8	23	7,5	20
UHS 32	12,6	40	10,8	34
UHS 12/M6-I, 5.8, A50 ¹⁾	0,1	0	0,1	0
UHS 12/M6-I R 8.8, A70, A80 ^{1) 2)}	0,2	0	0,1	0
UHS 12/M8-I, 5.8, A50 ¹⁾	0,4	1	0,1	0
UHS 12/M8-I R 8.8, A70, A80 ^{1) 2)}	0,6	1	0,2	0
UHS 15/M10 I, 5.8, A50 ¹⁾	0,9	2	0,6	1
UHS 15/M10-I R 8.8, A70, A80 ^{1) 2)}	1,4	3	1,0	1
UHS 15/M12 I, 5.8/A50 ¹⁾	1,9	4	1,6	3
UHS 15/M12-I R 8.8, A70, A80 ^{1) 2)}	3,0	6	2,6	4

¹⁾ Zwischenwerte dürfen interpoliert werden

²⁾ In Kombination mit Schraube / Gewindestange der Festigkeitsklasse 8.8, A70, A80

Tabelle C6.2: Minimale Achs- und Randabstände für Dübel unter **Brandbeanspruchung** für Zug- und Querlast

Dübeltyp	UHS 10	UHS 12 UHS 12-I	UHS 15 UHS 15-I	UHS 18	UHS 24	UHS 28	UHS 32
Achsabstand $\frac{S_{Cr,N,fi}}{S_{min,fi}}$	4 x h _{ef}						
	40	50	60	70	80	100	120
Randabstand $\frac{C_{Cr,N,fi}}{C_{min,fi}}$ [mm]	2 x h _{ef}						
	C _{min,fi} = 2 x h _{ef} , bei mehrseitiger Brandbeanspruchung C _{min,fi} ≥ 300 mm						

Upat Hülseanker UHS, UHS-I

Leistungen

Leistungsmerkmale der Quertragfähigkeit unter Brandbeanspruchung
Minimale Achs- und Randabstände für Dübel unter Brandbeanspruchung

Anhang C 6

Tabelle C7.1: Mindestdicke des Betonbauteils, minimaler Achs- und minimaler Randabstand
UHS, UHS R

Dübeltyp UHS-S, -SK, -B, -H und UHS-S R, -SK R, -B R, -H R		UHS 10	UHS 12	UHS 15	UHS 18	UHS 24	UHS 28	UHS 32
Minimale Dicke des Betonbauteils	h_{min} [mm]	80	120	140	160	200	250	300
Minimaler Achsabstand, gerissener Beton	s_{min}	40	50	60	70	80	100	120
	für $c \geq$	40	80	120	140	180	200	260
Minimaler Randabstand, gerissener Beton	c_{min}	40	50	60	70	80	100	120
	für $s \geq$	40	80	120	160	200	220	280
Minimaler Achsabstand, ungerissener Beton	s_{min}	40	60	70	80	100	120	160
	für $c \geq$	70	100	100	160	200	220	360
Minimaler Randabstand, ungerissener Beton	c_{min}	40	60	70	80	100	120	180
	für $s \geq$	70	100	140	200	220	240	380

Zwischenwerte dürfen linear interpoliert werden.

Tabelle C7.2: Mindestdicke des Betonbauteils, minimaler Achs- und minimaler Randabstand
UHS-I, UHS-I R

Dübeltyp UHS-I und UHS-I R		UHS 12/M6 I UHS 12/M8 I	UHS 15/M10 I UHS 15/M12 I
Minimale Dicke des Betonbauteils	h_{min} [mm]	125	150
Minimaler Achsabstand, gerissener Beton	s_{min}	50	60
	für $c \geq$	80	120
Minimaler Randabstand, gerissener Beton	c_{min}	50	60
	für $s \geq$	80	120
Minimaler Achsabstand, ungerissener Beton	s_{min}	60	70
	für $c \geq$	100	100
Minimaler Randabstand, ungerissener Beton	c_{min}	60	70
	für $s \geq$	100	140

Zwischenwerte dürfen interpoliert werden

Upat Hülsenanker UHS, UHS-I

Leistungen
Mindestdicke des Betonbauteils, minimale Achs- und minimale Randabstände

Anhang C 7

Tabelle C8.1: Leistungsmerkmale der **Zug- und Quertragfähigkeit** der **seismischen Leistungskategorie C1** für UHS-S, -SK, -B, -H und UHS-S R, -SK R, -B R, -H R

Dübeltyp UHS-S, -SK, -B, -H und UHS-S R, -SK R, -B R, -H R		UHS 12	UHS 15	UHS 18	UHS 24	UHS 28	UHS 32	
Stahlversagen								
Charakteristische Zugtragfähigkeit C1	UHS-S, -B	29,3	46,4	67,4	125,3	195,8	282,0	
	UHS-H, -H R, -B R	29,3	46,6	67,4	125,3	3)		
	UHS-SK	29,3	46,6	67,4	3)			
	Teilsicherheitsbeiwert	$\gamma_{Ms,C1}^{1)}$	1,5					
	UHS-S R	29,3	46,4	67,4	125,3	3)		
	UHS-SK R	29,3	46,4	67,4	3)			
	Teilsicherheitsbeiwert	$\gamma_{Ms,C1}^{1)}$	1,6					
Herausziehen								
Charakteristische Zugtragfähigkeit in gerissenem Beton C 1	$N_{Rk,p,C1}$ [kN]	12,0	16,0	25,0	36,0	50,3	66,1	
	$\gamma_{Mp,C1}^{1)}$ [-]	1,5						
Stahlversagen ohne Hebelarm								
Charakteristische Quertragfähigkeit C1								
UHS-S	$V_{Rk,s,C1}$ [kN]	25,0	41,0	60,0	123,0	141,0	200,0	
UHS-B		17,0	30,0	46,0	103,0	117,0	169,0	
UHS-H		17,0	30,0	46,0	103,0	3)		
UHS-SK	$t_{fix}^{2)}$ [mm]	≥ 10	≥ 15		3)			
	$V_{Rk,s,C1}$ [kN]	25,0	41,0	60,0				
	$t_{fix}^{2)}$ [mm]	< 10	< 15					
	$V_{Rk,s,C1}$ [kN]	11,0	16,0	27,0				
Teilsicherheitsbeiwert	$\gamma_{Ms,C1}^{1)}$ [-]	1,25						
UHS-S R	$V_{Rk,s,C1}$ [kN]	25,0	41,0	60,0	123,0	3)		
Teilsicherheitsbeiwert	$\gamma_{Ms,C1}^{1)}$ [-]	1,33						
UHS-B R, -H R	$V_{Rk,s,C1}$ [kN]	17,0	30,0	46,0	103,0	3)		
Teilsicherheitsbeiwert	$\gamma_{Ms,C1}^{1)}$ [-]	1,25						
UHS-SK R	$t_{fix}^{2)}$ [mm]	≥ 10	≥ 15		3)			
	$V_{Rk,s,C1}$ [kN]	25,0	41,0	60,0				
	$t_{fix}^{2)}$ [mm]	< 10	< 15					
	$V_{Rk,s,C1}$ [kN]	11,0	16,0	27,0				
Teilsicherheitsbeiwert	$\gamma_{Ms,C1}^{1)}$ [-]	1,33						
Faktor für Ringspalt	α_{gap}	0,50						
Upat Hülseanker UHS, UHS-I							Anhang C 8	
Leistungen Leistungsmerkmale für Zug- und Querwiderstände der seismischen Leistungskategorie C1								

1) Sofern keine anderen nationalen Regelungen vorliegen
 2) Die Dicke des Anbauteils hat Einfluss auf die charakteristische Quertragfähigkeit
 3) Leistung nicht bewertet

Tabelle C9.1: Leistungsmerkmale der **Zug- und Quertragfähigkeit** der **seismischen Leistungskategorie C2** für UHS-S, -SK, -B, -H und UHS-S R, -SK R, -B R, -H R

Dübeltyp UHS-S, -SK, -B, -H und UHS-S R, -SK R, -B R, -H R		UHS 12	UHS 15	UHS 18	UHS 24	UHS 28	UHS 32
Stahlversagen							
Charakteristische Zugtragfähigkeit C2	UHS-S, -B	$N_{Rk,s,C2}$ [kN]	29,3	46,4	67,4	125,3	195,8
	UHS-H, -H R, -B R	$N_{Rk,s,C2}$ [kN]	29,3	46,4	67,4	125,3	³⁾
	UHS-SK	$N_{Rk,s,C2}$ [kN]	29,3	46,4	67,4	³⁾	
	Teilsicherheitsbeiwert	$\gamma_{Ms,C2}^{1)}$ [-]	1,5				
	UHS-S R	$N_{Rk,s,C2}$ [kN]	29,3	46,4	67,4	125,3	³⁾
	UHS-SK R	$N_{Rk,s,C2}$ [kN]	29,3	46,4	67,4	³⁾	
Teilsicherheitsbeiwert	$\gamma_{Ms,C2}^{1)}$ [-]	1,6					
Herausziehen							
Charakteristische Zugtragfähigkeit im gerissenen Beton C2		$N_{Rk,p,C2}$ [kN]	6,2	11,3	21,8	43,0	65,9
		$\gamma_{Mp,C2}^{1)}$ [-]	1,5				
Stahlversagen ohne Hebelarm							
Charakteristische Quertragfähigkeit C2							
UHS-S	$V_{Rk,s,C2}$ [kN]	14,7	28,9	41,0	100,7		
UHS-B	$V_{Rk,s,C2}$ [kN]	9,8	20,9	34,1	61,9	67,2	
UHS-H	$V_{Rk,s,C2}$ [kN]	9,8	20,9	34,1	61,9	³⁾	
UHS-SK	$t_{fix}^{2)}$ [mm]	≥ 10	≥ 15		³⁾		
	$V_{Rk,s,C2}$ [kN]	14,8	23,3	33,8			
	$t_{fix}^{2)}$ [mm]	< 10	< 15				
	$V_{Rk,s,C2}$ [kN]	6,3	9,1	15,1			
Teilsicherheitsbeiwert	$\gamma_{Ms,C2}^{1)}$ [-]	1,25					
UHS-S R	$V_{Rk,s,C2}$ [kN]	14,7	28,9	41,0	100,7	³⁾	
Teilsicherheitsbeiwert	$\gamma_{Ms,C2}^{1)}$ [-]	1,33					
UHS-B R, -H R	$V_{Rk,s,C2}$ [kN]	9,8	20,9	34,1	61,9	³⁾	
Teilsicherheitsbeiwert	$\gamma_{Ms,C2}^{1)}$ [-]	1,25					
UHS-SK R	$t_{fix}^{2)}$ [mm]	≥ 10	≥ 15		³⁾		
	$V_{Rk,s,C2}$ [kN]	14,8	23,3	33,8			
	$t_{fix}^{2)}$ [mm]	< 10	< 15				
	$V_{Rk,s,C2}$ [kN]	6,3	9,1	15,1			
Teilsicherheitsbeiwert	$\gamma_{Ms,C2}^{1)}$ [-]	1,33					
Faktor für Ringspalt	α_{gap}	0,50					

¹⁾ Sofern keine anderen nationalen Regelungen vorliegen

²⁾ Die Dicke des Anbauteils hat Einfluss auf die charakteristische Quertragfähigkeit

³⁾ Leistung nicht bewertet

Upat Hülseanker UHS, UHS-I

Leistungen

Leistungsmerkmale für Zug- und Querwiderstände der seismischen Leistungskategorie C2

Anhang C 9

Tabelle C10.1: Verschiebungen unter statischer und quasi-statischer **Zuglast** für UHS und UHS R

Dübeltyp UHS-S, -SK, -B, -H und UHS-S R, -SK R, -B R, -H R		UHS 10	UHS 12	UHS 15	UHS 18	UHS 24	UHS 28	UHS 32
Zuglast gerissener Beton	N [kN]	3,6	5,7	7,6	11,9	17,1	24,0	31,5
Zugehörige Verschiebungen	$\frac{\delta_{N0}}{\delta_{N\infty}}$ [mm]	1,0	1,0	1,0	1,0	1,0	0,7	0,7
		1,7	1,6	1,6	1,6	1,8	1,3	1,1
Zuglast ungerissener Beton	N [kN]	6,0	11,2	14,1	17,2	24,0	33,6	44,2
Zugehörige Verschiebungen	$\frac{\delta_{N0}}{\delta_{N\infty}}$ [mm]	0,6	1,0	1,0	1,0	1,0	0,3	0,3
		1,7	1,6	1,6	1,6	1,8	1,3	1,1

Tabelle C10.2: Verschiebungen unter statischer und quasi-statischer **Zuglast** für UHS-I und UHS-I R

Dübeltyp UHS-I und UHS-I R		UHS 12/M6 I UHS 12/M8 I	UHS 15/M10 I UHS 15/M12 I
Zuglast gerissener Beton	N [kN]	4,3	5,7
Zuglast ungerissener Beton		9,5	14,1
Zugehörige Verschiebungen	$\frac{\delta_{N0}}{\delta_{N\infty}}$ [mm]	1,7	1,9
		2,2	2,9

Tabelle C10.3: Verschiebungen unter statischer und quasi-statischer **Querlast** für UHS-S und -SK

Dübeltyp UHS-S und UHS-SK		UHS 10	UHS 12	UHS 15	UHS 18	UHS 24	UHS 28	UHS 32
Querlast in gerissenem und ungerissenem Beton	V [kN]	10,3	18,9	33,7	43,4	83,4	99,4	124,0
Zugehörige Verschiebungen	$\frac{\delta_{V0}}{\delta_{V\infty}}$ [mm]	2,4	2,7	4,4	5,0	7,0	6,0	8,0
		3,6	4,1	6,6	7,5	10,5	9,0	12,0

Tabelle C10.4: Verschiebungen unter statischer und quasi-statischer **Querlast** für UHS-B und -H

Dübeltyp UHS-B und UHS-H		UHS 10	UHS 12	UHS 15	UHS 18	UHS 24	UHS 28	UHS 32
Querlast in gerissenem und ungerissenem Beton	V [kN]	8,9	15,4	23,4	35,4	68,0	83,4	96,6
Zugehörige Verschiebungen	$\frac{\delta_{V0}}{\delta_{V\infty}}$ [mm]	2,2	2,3	3,0	5,0	7,0	5,0	5,0
		3,3	3,5	4,5	7,5	10,5	7,5	7,5

Upat Hülsenanker UHS, UHS-I

Leistungen
Verschiebungen unter Zug- und Querlast

Anhang C 10

Tabelle C11.1: Verschiebungen unter statischer und quasi-statischer **Querlast** für UHS-S R, UHS-SK R, UHS-B R und UHS-H R

Dübeltyp UHS-S R, -SK R, -B R, -H R		UHS 10	UHS 12	UHS 15	UHS 18	UHS 24
Querlast in gerissenem und ungerissenem Beton	V [kN]	10,3	16,0	24,6	37,7	68,0
Zugehörige Verschiebungen	$\frac{\delta_{v0}}{\delta_{v\infty}}$ [mm]	3,5	3,5	3,7	5,7	9,0
		5,3	5,3	5,6	8,6	13,5

Tabelle C11.2: Verschiebungen unter statischer und quasi statischer **Querlast** für UHS-I und UHS-I R

Dübeltyp: UHS-I und UHS-I R		UHS 12/M6 I	UHS 12/M8 I	UHS 15/M10 I	UHS 15/M12 I
Querlast in gerissenem und ungerissenem Beton	V [kN]	4,6	8,3	13,3	13,7
Zugehörige Verschiebungen	$\frac{\delta_{v0}}{\delta_{v\infty}}$ [mm]	2,6	2,6	2,2	2,2
		3,9	3,9	3,3	3,3

Tabelle C11.3: Verschiebungen unter **Zuglast** für **seismische Leistungskategorie C2** für UHS und UHS R

Dübeltyp UHS-S, -SK, -B, -H und UHS-S R, -SK R, -B R, -H R		UHS 12	UHS 15	UHS 18	UHS 24	UHS 28	UHS 32
Verschiebung DLS	$\delta_{N,C2 (DLS)}$ [mm]	1,55	2,63	2,04	4,26	3,06	
Verschiebung ULS	$\delta_{N,C2 (ULS)}$	8,71	11,07	7,30	11,70	11,44	

Tabelle C11.4: Verschiebungen unter **Querlast** für **seismische Leistungskategorie C2** für UHS und UHS R

Dübeltyp UHS-S, -SK und UHS-S R, -SK R		UHS 12	UHS 15	UHS 18	UHS 24	UHS 28	UHS 32
Verschiebung DLS	$\delta_{V,C2 (DLS)}$ [mm]	3,53	4,18	4,67	5,59	4,79	
Verschiebung ULS	$\delta_{V,C2 (ULS)}$	6,62	7,38	9,03	14,09	9,95	

Dübeltyp UHS-B, -H und UHS-B R, -H R		UHS 12	UHS 15	UHS 18	UHS 24	UHS 28	UHS 32
Verschiebung DLS	$\delta_{V,C2 (DLS)}$ [mm]	3,42	4,26	4,29	4,79		
Verschiebung ULS	$\delta_{V,C2 (ULS)}$	5,26	6,66	7,95	7,69	9,95	

Upat Hülsenanker UHS, UHS-I

Leistungen
Verschiebungen unter Zug- und Querlast

Anhang C 11